

การประชุมวิชาการเครือข่ายวิศวกรรมเครื่องกลแห่งประเทศไทยครั้งที่ 14  
2 – 3 พฤศจิกายน 2543 โรงแรม โนโวเทล เชียงใหม่

## การศึกษาการป้องกันการกัดกร่อนบนผิวภายนอกของท่อเทอร์โมไชฟอน แบบท่อครีบของเครื่องอุ่นน้ำป้อนโดยใช้สีเคลือบ

ประชา ยืนยงกุล, ประดิษฐ์ เทอดทูล, ภัทรพร ตันตาม, วีระ พ้าเพื่องวิทยาภูมิและ \*สมชาย ทองเต็ม  
ภาควิชาวิศวกรรมเครื่องกล คณะวิศวกรรมศาสตร์  
\*ภาควิชาพิสิกส์ คณะวิทยาศาสตร์  
มหาวิทยาลัยเชียงใหม่ เชียงใหม่ 50200

### บทคัดย่อ

งานวิจัยนี้ศึกษาการป้องกันการกัดกร่อน บนผิวภายนอกของท่อเทอร์โมไชฟอนแบบท่อครีบของ เครื่องอุ่นน้ำป้อนโดยใช้สีเคลือบ เทอร์โมไชฟอนที่ซักดูดสอบทำจากท่อเหล็ก ครีบเหล็ก ท่อทองแดง ครีบอะลูมิเนียม และท่ออะลูมิเนียม ครีบอะลูมิเนียมที่ไม่เคลือบและเคลือบสีทึนความร้อน 3 ความหนาในส่วนท่าระเหยของเทอร์โมไชฟอน โดยติดตั้งงานตัวแทนที่ตัดมาจากท่อของแต่ละโลหะ และแบ่งเป็น 2 ส่วนเท่าๆ กัน นำไปติดตรงตัวแทนด้านหนึ่งไว้แล้ว และด้านตรงข้ามของเทอร์โมไชฟอน ทำการเคลือบสีทึนความร้อนเฉพาะด้านที่เลือกเพื่อทดสอบผลกระทบในการกัดกร่อนเนื่องจากผลของพิศทางการไหลเท่านั้น โดยทดสอบกับไอลีเยอร์อนที่อุณหภูมิ  $225^{\circ}\text{C}$  ได้จากการเผาไหม้ของน้ำมันเตาเกรด A ที่มีน้ำมันตีเซลล์ผสมอยู่ 20 % โดยปริมาตร ทำการทดสอบวันละ 16 ชั่วโมง รวมทั้งหมด 1,000 ชั่วโมง เก็บข้อมูลความร้อนส่งผ่านและอุณหภูมิแตกต่างของเครื่องอุ่นน้ำป้อนในช่วงการทำงานต่างๆ ข้อมูลการกัดกร่อนและเข้มข่าวางเทอร์โมไชฟอน และข้อมูลน้ำหนักจากชั้นงานตัวอย่าง ที่เวลา 250, 500, 750 และ 1,000 ชั่วโมง ทำการวิเคราะห์ผลโดยการวิเคราะห์การกัดกร่อนจากภาพถ่ายภาพตัดขวางท่อขยาย 25 เท่าที่ถ่ายโดยกล้องจุลทรรศน์ วิเคราะห์ผลจากการตรวจหาสารประกอบอินทรีย์และสารประกอบอินทรีย์ในเข้มข่าวางโดยเครื่อง X-ray diffractometer และ Infra-red spectroscopy วิเคราะห์ความหนาเข้มข่าวางที่ได้จากการวัดที่ผิวห่อ วิเคราะห์อัตราการแกเสื้าของเข้มข่าวางจากน้ำหนักของชั้นงานตัวแทนที่เพิ่มขึ้น วิเคราะห์ความต้านทานความร้อนของเข้มข่าวางที่ได้จากการติดตั้งงานต้านทานความร้อนของเครื่องอุ่นน้ำป้อนที่เปลี่ยนไป และวิเคราะห์ความเป็นได้ทางเศรษฐศาสตร์ที่ได้จากค่า

ใช้จ่ายทั้งหมด จากผลการทดสอบพบว่าการกัดกร่อนระหว่างส่วนที่เป็นท่อและครีบไม่มีความแตกต่างทางสถิติ ตำแหน่งด้านหนึ่งรับไอลีเยอร์อนและความหนาสีทึนความร้อนไม่มีผลต่อการกัดกร่อนหรือความหนาเข้มข่าวางหรืออัตราการแกเสื้าของเข้มข่าวาง การกัดกร่อนของท่อเหล็ก ท่อทองแดง และท่ออะลูมิเนียมที่เคลือบสีทึนความร้อนจะมีค่าน้อยกว่าท่อที่ไม่เคลือบ 0.047 มม., 0.043 มม. และ 0.017 มม. ตามลำดับ ที่เวลา 1,000 ชั่วโมง ตรวจสอบสารประกอบอินทรีย์นั้นตรวจไม่พบจากเข้มข่าวางที่ได้จากการเผาไหม้ไม่ขึ้นกับชนิดขึ้นกับของวัสดุของท่อหรือการเคลือบหนึ่งเวลา และพบว่าความสัมพันธ์ระหว่างการกัดกร่อนกับเวลาของท่อเหล็กที่ไม่เคลือบและเคลือบสีเป็นไปดังสมการ  $\text{Cr} = 0.0055t^{0.44}$  และ  $\text{Cr} = 0.0055t^{0.3622}$  ตามลำดับ ส่วนท่อทองแดงความสัมพันธ์ระหว่างการกัดกร่อนกับเวลาของท่อที่ไม่เคลือบและเคลือบสีเป็นไปดังสมการ  $\text{Cr} = 0.0105t^{0.3404}$  และ  $\text{Cr} = 0.007t^{0.3264}$  และตามลำดับ ความสัมพันธ์ระหว่างการกัดกร่อนกับเวลาของท่ออะลูมิเนียมที่ไม่เคลือบ และเคลือบสีเป็นไปดังสมการ  $\text{Cr} = 0.0137t^{0.3373}$  และ  $\text{Cr} = 0.001t^{0.6938}$  ตามลำดับ

ความสัมพันธ์ระหว่างความต้านทานความร้อนของเข้มข่าวางเวลาเป็นไปดังสมการ  $Z_{fouling} = 1.038(1 - e^{-0.0034t})$

### Abstract

The purpose of this paper is to study the effects of using paint as a protection against corrosion on external surfaces of thermosyphon economizers. The thermosyphons used in the experiment were made of standard and paint coated tubes of 3 different kinds of

metal: steel, copper and aluminum. Three different thicknesses of paint were employed on the evaporator section. The thermosyphons were made of steel tubes with steel fins, aluminum tubes with aluminum fins and copper tubes with aluminum fins. The thermosyphons were installed in a modified economizer. The test was conducted by using flue gas generated from a mixture of heavy grade A fuel and diesel oil at a ratio of 20% by volume. It was found from the results that, neither the direction of the flow of the flue gas nor the thickness of the paint coating significantly affected the fouling thickness, or the average rate of fouling. The results also showed that, the average corrosion of aluminum; copper and iron thermosyphons was 129, 89 and 100 microns respectively. An inorganic compound  $\text{CaSO}_4$ , which was due to the combustion of the fuel, was detected by XRD (X-ray Diffractometer) but no organic compound was detected. In addition, it was found that the corrosion which occurred between the fins and tube's surface, as well as the front and back side of the thermosyphon was not significantly different after being tested for 1,000 hours. The correlation between corrosion and operating time for this experiment was  $\text{Cr} = 0.0055t^{0.44}$  for the standard steel thermosyphon,  $\text{Cr} = 0.0055t^{0.3622}$  for the coated mild steel thermosyphon,  $\text{Cr} = 0.0105t^{0.3404}$  for the standard copper thermosyphon,  $\text{Cr} = 0.007t^{0.3264}$  for the coated copper thermosyphon,  $\text{Cr} = 0.0137t^{0.3373}$  for the standard aluminum thermosyphon and  $\text{Cr} = 0.001t^{0.6968}$  for the coated aluminum thermosyphon. In addition, it was found that the correlation between fouling resistance and operating time was  $Z_{\text{fouling}} = 1.038(1 - e^{-0.0034t})$

## 1. บทนำ

เครื่องอุ่นน้ำป้อน เป็นเครื่องแยกเปลี่ยนความร้อนที่ใช้ในการถึงความร้อนจากไออกซิเจนของการเผาไหม้จากการต้มน้ำ เพื่อผลิตไอน้ำของหม้อไอน้ำก่อนที่จะปล่อยไปสู่บรรจุภัณฑ์ทางปล่องควันเครื่องอุ่นน้ำป้อนจะดึงความร้อนมาให้กับน้ำก่อนเข้าหม้อไอน้ำ เพื่อเป็นการเพิ่มอุณหภูมิให้น้ำเป็นการ

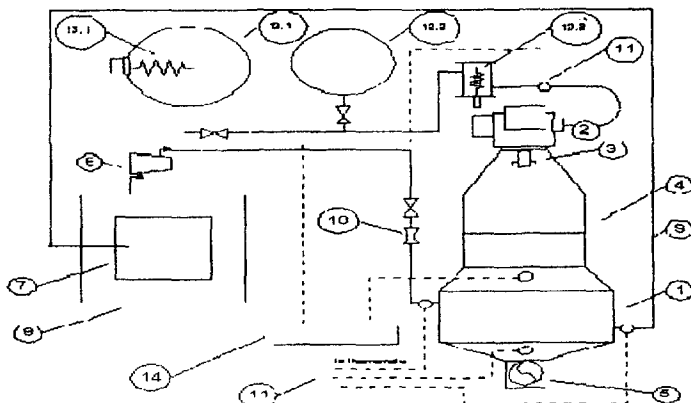
ประยัดเชือเพลิงในการเผาไหม้ เครื่องอุ่นน้ำป้อนที่ใช้สำหรับการทดลองนี้ คือแบบที่ใช้เทอร์โมไซฟอน เทอร์โมไซฟอนจะถ่ายเทความร้อนโดยอาศัยหลักการเปลี่ยนสภาพของสารทำงานภายในท่อ วิธีนี้สามารถประยัดพลังงานที่ใช้ป้อนให้กับหม้อต้ม สะดวกในการติดตั้งและบำรุงรักษาอย่างไรก็ตามปัญหาที่พบในเครื่องอุ่นน้ำป้อนแบบที่ใช้เทอร์โมไซฟอน คือการกัดกร่อน และเขม่าที่เกิดขึ้นบนผิวภายในห้องเผาไหม้ การกัดกร่อนและเขม่าทำให้ประสิทธิภาพของเครื่องอุ่นน้ำป้อนลดลง สามารถทำนายการสะสมของเขม่าโดยสมการของ Kern and Seaton คือ

$$R_{\text{fouling}} = \frac{\phi_d}{\beta} (1 - e^{-\beta t}) \quad (1)$$

เมื่อ  $R_{\text{fouling}}$  = คือความหนาของเขม่า  
 $\phi_d$  = อัตราการสะสมของเขม่า  
 $\beta$  = อัตราการหลุดร่วงของเขม่า  
 $t$  = เวลาทดสอบ

Bubenicek และคณะ [3] พบร้าปัจจัยที่ผลต่ออัตราการสะสมของเขม่า คือ อุณหภูมิ ส่วนผสมของเชื้อเพลิง ลักษณะการไหล ความเร็วในการไหล ส่วนประกอบของก๊าซร้อน วัสดุที่ใช้ทำท่อ อุณหภูมิและความร้อนที่ผ่าน

วิธีป้องกันการกัดกร่อนบนผิวภายนอกห้องเผาไหม้วิธีด้วยกัน Novotna และคณะ [4] พบร้าหลังจากการทดสอบเป็นเวลา 10,000 ชั่วโมง ไม่มีการกัดกร่อนสำหรับห้องเหล็ก Polasek and Stule [5] พบร้าท่อความร้อนที่ทำจากเหล็กและเคลือบอินามอลจะต้านทานการกัดกร่อนได้ดีกว่าห่อสแตนเลส ขั้วัญชัยและคณะ [1]ทดสอบการป้องกันการกัดกร่อนบนผิวภายนอกห้องเผาไหม้ไซฟอนของห้องเหล็กและห้องแดง โดยเคลือบอินามอล ทดสอบเป็นเวลา 1,000 ชั่วโมง พบร้าการกัดกร่อนของห้องเหล็กและห้องแดงที่ไม่เคลือบอินามอลสูงกว่าห่อที่เคลือบอินามอล 4.45 เท่า และ 4.9 เท่า ตามลำดับ ชาตรี และสิทธิกร [2]ป้องกันการกัดกร่อนบนผิวภายนอกห้องเผาไหม้ไซฟอนโดยใช้สี Red lead Red oxide และสีทึนความร้อนสูง ทดสอบกับห้องเหล็กห้องแดงและอะลูมิเนียมพบว่าหลังจากการทดสอบเป็นเวลา 1,000 ชั่วโมง การกัดกร่อนของห่อที่ไม่เคลือบสีสูงกว่าห่อที่เคลือบสีประมาณสองเท่า เพราะฉะนั้นสรุปได้ว่าการเคลือบสีสามารถลดการกัดกร่อนได้



1 ห้องเครื่องสูบน้ำมันแบบเทอร์โมไซฟอน	9 ห้องน้ำทึบและอุกกาบาตเครื่องสูบน้ำมีมน
2 ศูนย์ฯ	10 เครื่องวัดความร้อนทางอินฟราเรด
3 ตัวคุมอุณหภูมิ	11 สายเหลวในตับปั๊ม
4 ช่องห้องเผาไฟมีและทางเดินไอเสียร้อนที่ห้องเผาเครื่องสูบสู่บาร์บราค้า	12.1 ตั้งน้ำมันหลัก
5 ปล่องไออกซิเจนอุกจาระเครื่องสูบอุ่นที่บ้านสูบบาร์บราค้า	12.2 ตั้งน้ำมันรอง
6 ปืนฉีด	13.1 เครื่องวัดความร้อนตัวที่ 1
7 กระบอกความร้อน	13.2 เครื่องวัดความร้อนตัวที่ 2

รูปที่ 1 แสดงชุดทดสอบ

## 2. อุปกรณ์และชุดทดสอบ

เทอร์โมไซฟอนที่ทดสอบแสดงในรูป 1 ทดสอบกับน้ำมันเตาเกรดเอ ผสมกับน้ำมันดีเซลในอัตราส่วน 20% โดยปริมาตร ที่อุณหภูมิ 225 องศาเซลเซียส ในหัวเผา และไอลต่อไปยังเครื่องสูบอุ่นน้ำป้อนจากนั้นผ่านออกไปทางปล่องควัน น้ำถูกปั๊มเข้าสู่เครื่องสูบอุ่นน้ำป้อนผ่านต่อไปยังหอดล่อเย็นเพื่อลดอุณหภูมิลงก่อนที่จะลงสู่ถังเก็บทดสอบเป็นเวลาทั้งหมด 1,000 ชั่วโมงโดยจะทดสอบ 16 ชั่วโมง วัดความหนาของเชื้อห้ามทั้งด้านหน้าท่อและด้านหลังท่อเพื่อหาค่าความหนาของเชื้อห้ามเฉลี่ย ข้อมูลต่างๆจะเก็บทุกๆ 250 ชั่วโมง ถ่ายภาพด้วยกล้องจุลทรรศน์ขยาย 25 เท่า และวัดค่าการกัดกร่อนจากภาพถ่ายสีด้วยเวอร์เนีย ข้อมูลที่วัดได้นำไปคำนวณอัตราการกัดกร่อนเทียบกับเวลาการทำงาน จากค่าการกัดกร่อนและความหนาสีสามารถหาค่าความสัมพันธ์เพื่อหาความหนาสีที่เหมาะสมที่ต้องการได้ วิเคราะห์หาสารประกอบของสารอินทรีย์และสารอินทรีย์ด้วยเครื่อง XRD และเครื่อง IR ตามลำดับ วัดความหนาของเชื้อห้ามทั้งด้านหน้าและด้านหลังของเทอร์โมไซฟอนเพื่อหาความสัมพันธ์ระหว่างความหนาของเชื้อห้ามและเวลาการทำงาน นำเขม่าที่เกิดขึ้นชนตัวอย่างชั้นหนังกเพื่อหาน้ำหนักที่เปลี่ยนแปลงเทียบกับเวลาการทำงาน โดยเก็บข้อมูลทั้งด้านหน้าและด้านหลังท่อเทอร์โมไซฟอน อุณหภูมิของก้าชร้อนจะวัด

ทุกๆ 5 ชั่วโมง เพื่อทำนายค่าความต้านทานความร้อนของเชื้อห้ามเทียบกับเวลาการทำงาน

## 3. ผลและการวิเคราะห์

ผลและการวิเคราะห์ของข้อมูลจะพิจารณาตามหัวข้อต่อไปนี้ คือการกัดกร่อนของผิวภายนอกห่อ การสะสมของเชื้อห้ามผิวภายนอกห่อ และค่าความต้านทานความร้อนของเชื้อห้าม

### 3.1 การกัดกร่อนบนผิวภายนอก

จากการถ่ายสีซึ่งขยาย 25 เท่าโดยกล้องจุลทรรศน์พบว่าหลังจากทดสอบเป็นเวลา 1,000 ชั่วโมง ไม่เหลือความหนาสีอยู่เลยเนื่องจากถูกกัดกร่อนจากก้าชร้อน การกัดกร่อนของห่อเทอร์โมไซฟอนที่เคลือบสี แสดงในรูป 2 ลักษณะการกัดกร่อนจะเริ่มเกิดขึ้นจากชั้นเคลือบของสีไปยังเนื้อโลหะ พบว่าการกัดกร่อนระหว่างห่อและเคร็บไม่มีความแตกต่างทางสถิติ หลังจากทดสอบเป็นเวลา 1,000 ชั่วโมง เพราะฉะนั้นข้อมูลทั้งหมดจะใช้ข้อมูลจากห่อเป็นข้อมูลตัวแทน พบว่าการกัดกร่อนระหว่างด้านหน้าท่อและด้านหลังห่อไม่มีความแตกต่างทางสถิติ เนื่องจากการสะสมของเชื้อห้ามผลต่อการกัดกร่อนน้อย ดังนั้นการกัดกร่อนที่เกิดขึ้นจะใช้ข้อมูลตัวแทนจากด้านหน้าของห่อเทอร์โมไซฟอน

รูป 3 แสดงความสัมพันธ์การกัดกร่อนบนผิวภายนอก เทียบกับเวลาทำงาน ของห่อทองแดงที่ไม่เคลือบและเคลือบ สีทึนความร้อน อัตราการกัดกร่อนของห่อทองแดงที่เคลือบ สีทึนความร้อน เป็นไปตามสมการ

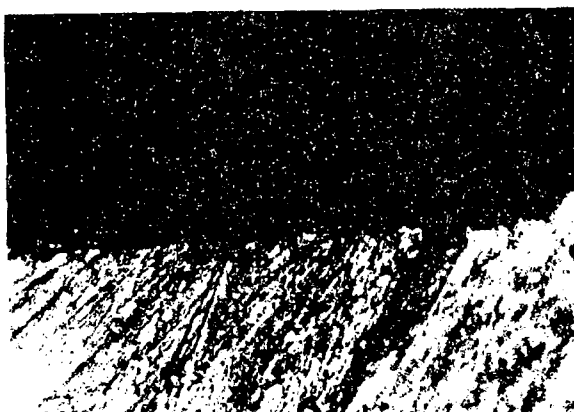
$$Cr = 0.007t^{0.3264} \quad (2)$$

และการกัดกร่อนของห่อทองแดงที่ไม่ได้เคลือบสีทึนความร้อน จะหาได้จากสมการ

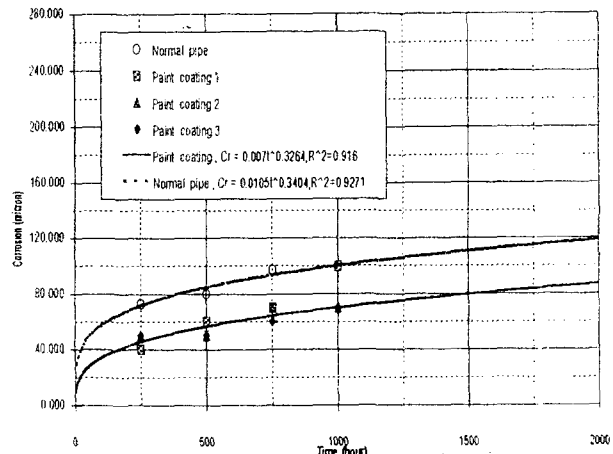
$$Cr = 0.0105t^{0.3404} \quad (3)$$

พบว่าการกัดกร่อนของห่อทองแดงที่ไม่เคลือบสีทึนความร้อนสูงกว่าห่อที่เคลือบสีทึนความร้อน 37 % หลังจากทดสอบเป็นเวลา 1,000 ชั่วโมง แสดงว่าการเคลือบสีทึนความร้อนสามารถลดการกัดกร่อนได้ 37 % ที่ 1,000 ชั่วโมง

การกัดกร่อนของห่อเหล็กที่ไม่เคลือบสีทึนความร้อนสูงกว่าห่อที่เคลือบสีทึนความร้อน 41 % และการกัดกร่อนของห่ออะลูมิเนียมที่ไม่เคลือบสีทึนความร้อนสูงกว่าห่อที่เคลือบสีทึนความร้อน 14 % หลังจากทดสอบเป็นเวลา 1,000 ชั่วโมง

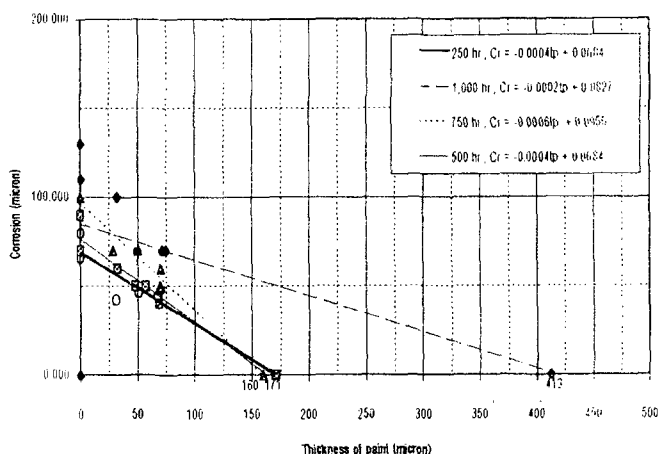


รูป 2 รูปถ่ายขยาย 25 เท่าโดยกล้องจุลทรรศน์



รูป 3 ตัวอย่างการกัดกร่อนเทียบกับเวลาทำงาน ของห่อทองแดงที่ไม่เคลือบและเคลือบสีทึนความร้อน

### 3.2 ความหนาสีที่เหมาะสม



รูป 4 ตัวอย่างการกัดกร่อนและความหนาสีของห่อทองแดงที่ไม่เคลือบและเคลือบด้วยสีทึนความร้อน

รูป 4 แสดงความสัมพันธ์ระหว่างการกัดกร่อนและความหนาสีของห่อทองแดง ที่ช่วงเวลาทดสอบ 1,000 ชั่วโมง จุดตัดแกนของแกน x คือค่าของความหนาสีที่เหมาะสม ความหนาสีที่เหมาะสมของห่อทองแดงที่เวลาทดสอบ 1,000 ชั่วโมง คือ 413 ไมครอน ส่วนความหนาสีที่เหมาะสมของห่อเหล็กและห่ออะลูมิเนียมที่เวลาทดสอบ 1,000 ชั่วโมง คือ 621 และ 359 ไมครอน ตามลำดับ เมื่อเปรียบเทียบห้อง 3 โลหะ พบว่าเหล็กเป็นโลหะที่เคลือบสีหนาที่สุด ชาตรี และสีทึน[2] ทดสอบการกัดกร่อนกับห่อซึ่งไม่ได้ติดครีบ พบร่วมกันของห่อเหล็กห่อทองแดง และอะลูมิเนียม คือ 280, 218 และ 101 ไมครอน ตามลำดับ ดังนั้นแสดงว่าความหนาสีของห่อซึ่งติดครีบมีความหนาสีที่หนากว่าห่อที่ไม่ได้ติดครีบ เพราะฉะนั้นสรุปได้ว่า

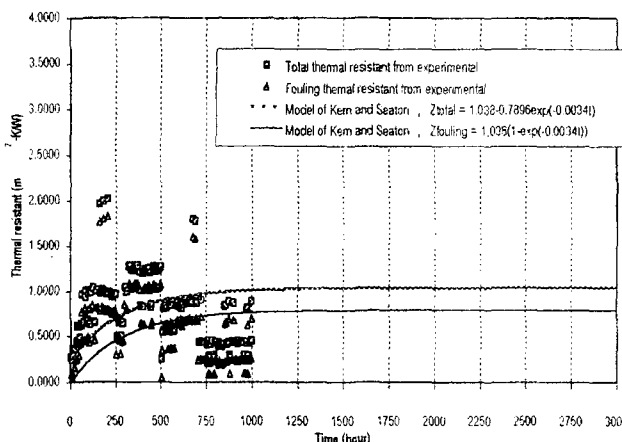
ความหนาสีที่ป้องกันการกัดกร่อนของห่อหงดลง และอะลูมิเนียม ที่ 1,000 ชั่วโมง คือ 413 ,621 และ 359 ไมครอน ตามลำดับ

### 3.3 ความต้านทานความร้อนของเขม่า

จากสมการของ Kern and Seaton สามารถคำนวณ สมการความต้านทานความร้อนของเขม่าจากการทดสอบ หลังจากทดสอบเป็นเวลา 1,000 ชั่วโมง ได้ดังนี้

$$Z_{fouling} = 1.038(1-\exp(-0.0034t)) \quad (4)$$

จากสมการ (4) และรูป 5 พบร้าค่าความต้านทานความร้อน ของเขม่าสูงที่สุด คือ  $1.038 \text{ m}^2\text{-K/W}$  ที่เวลาทดสอบ 2,800 ชั่วโมง หลังจากนั้นค่าความต้านทานความร้อนของเขม่าจะเริ่มคงที่ เพราะฉะนั้นแสดงว่าเวลาที่ควรทำความสะอาดห่อ คือที่ทุกๆ 2,800 ชั่วโมง



รูป 5 ค่าความต้านทานความร้อนรวมของเขม่าในเครื่องอุ่นน้ำป้อน เทียบกับเวลาการทำงาน

ข้อยุบชัยและคณะ [1]พบร้าเครื่องอุ่นน้ำป้อนซึ่งติดตั้งเทอร์โมไไซฟ่อนที่เคลือบผิวภายนอกด้วยอินามอล มีค่าความต้านทานความร้อนของเขม่าสูงที่สุด คือ  $0.78 \text{ m}^2\text{-K/W}$  ที่เวลาทดสอบ 2,800 ชั่วโมง เพราะฉะนั้นเมื่อเปรียบเทียบเท่ากัน เครื่องอุ่นน้ำป้อนซึ่งติดตั้งเทอร์โมไไซฟ่อนที่เคลือบผิวภายนอกด้วยสีทินความร้อนจะมีค่าความต้านทานความร้อน ของเขม่าสูงกว่าเครื่องอุ่นน้ำป้อนซึ่งติดตั้งเทอร์โมไไซฟ่อนที่เคลือบผิวภายนอกด้วยอินามอล

### 4. สรุป

ได้ทำการทดสอบเครื่องอุ่นน้ำป้อนแบบเทอร์โมไไซฟ่อนที่ป้องกันการกัดกร่อนบนผิวภายนอกห่อด้วยการเคลือบสีทินความร้อนเป็นเวลา 1,000 ชั่วโมง พบร้าผลการทดสอบ เป็นดังนี้

4.1 ตำแหน่งต้านหันรับไโอเสียร้อนและความหนาสีทิน ความร้อนที่เคลือบท่อไม่มีผลต่อการกัดกร่อนหรือความหนาเขม่าหรืออัตราการแก้ไขความร้อนของเขม่าเฉลี่ย

4.2 การกัดกร่อนของห่อเหล็ก ห่อหงดลง และห่ออะลูมิเนียมที่เคลือบสีทินความร้อนเมื่อผ่านไป 1,000 ชั่วโมง มีค่าเฉลี่ยเท่ากับ 100, 89 และ 129 ไมครอน ตามลำดับ และการกัดกร่อนของห่อท่อที่ไม่เคลือบสีจะมีค่าการกัดกร่อนมากกว่าห่อที่เคลือบด้วยสีทินความร้อนประมาณ 2 เท่า

4.3 ตรวจพบสารประกอบอนินทรีย์คือ  $\text{CaSO}_4$  ซึ่งคาดว่ามาจากเขม่าที่เกิดจากการเผาไหม้ของหัวมันเตา ส่วนสารประกอบอินทรีย์นั้นตรวจไม่พบ ชนิดของสารที่ผิวห่อจะไม่ขึ้นกับชนิดวัสดุของห่อหรือการเคลือบห่อเวลา

4.4 ความสัมพันธ์ระหว่างการกัดกร่อนและเวลาทำงาน ของห่อเหล็กที่ไม่เคลือบและเคลือบสีทินความร้อน คือ  $Cr = 0.0055t^{0.44}$  และ  $Cr = 0.0055t^{0.3622}$  ตามลำดับ ความสัมพันธ์ระหว่างการกัดกร่อนและเวลาทำงานของห่อหงดลง ที่ไม่เคลือบและเคลือบสีทินความร้อน คือ  $Cr = 0.0105t^{0.3404}$  และ  $Cr = 0.007t^{0.3264}$  ตามลำดับ ความสัมพันธ์ระหว่างการกัดกร่อนและเวลาทำงานของห่ออะลูมิเนียมที่ไม่เคลือบและเคลือบสีทินความร้อน คือ  $Cr = 0.0137t^{0.3373}$  และ  $Cr = 0.001t^{0.6968}$  ตามลำดับ

4.5 ความสัมพันธ์ระหว่างค่าความต้านทานความร้อน ของเขม่ากับเวลาการทำงาน คือ

$$Z_{fouling} = 1.038(1-\exp(-0.0034t))$$

### 5. สัญลักษณ์

$Cr$	การกัดกร่อน
$t$	เวลาการทำงาน
$Z_{fouling}$	ความต้านทานความร้อนของเขม่า
$\beta$	อัตราการหลุดร่วงของเขม่า
$\phi$	อัตราการแก้ไขความร้อนของเขม่า

## 6. บรรณานุกรม

- [1] ขวัญชัย ไกรทอง, "การป้องกันการกัดกร่อนบนผิวภายใน  
นอกท่อของเครื่องอุ่นน้ำป้อนแบบเทอร์โมไฟฟอนด้วยการ  
เคลือบอนามิล", วิทยานิพนธ์วิศวกรรมศาสตรมหาบัณฑิต  
ภาควิชาวิศวกรรมเครื่องกล, คณะวิศวกรรมศาสตร์  
มหาวิทยาลัยเชียงใหม่, 2541
- [2] ชาตรี คงแก่น และ สิงห์กิริ ถุงคำ, "การศึกษาการ  
กัดกร่อนภายในของท่อความร้อนที่ใช้กับเครื่องอุ่นน้ำ  
ป้อน", ปริญญา ni พนธ์, ภาควิชาวิศวกรรมเกย์ตร,  
คณะวิศวกรรมศาสตร์, มหาวิทยาลัยเชียงใหม่, 2541
- [3] Bubenicek, I., Lodecky, R., Polasek, F., and Stulc,  
P., "Fouling of Heat Pipe Heat Exchangers and  
Prevention", Proc., 9th International Heat Pipe  
conference, U.S.A., 1995
- [4.] Novatna, I., Nassler, J., and Zelko, M., "A  
Contribution to Service Life of Heat Pipes", Proc., 4th  
International Heat Pipe Symposium, Japan, 1994
- [5.] Polasek, F., and Stulc, P., "Porcelain Enamelled  
Steel and Plastic Heat Pipes for Heat Recovery  
Systems", Proc., 4<sup>th</sup> International Heat Pipe Symposium,  
1994